

MATEMATIČNO-FIZIKALNI PRAKTIKUM 2024/25

**8. naloga: Robni problem lastnih vrednosti**

Tadej Tomažič

30. december 2024

## Kazalo

<b>1</b>	<b>Navodilo</b>	<b>2</b>
<b>2</b>	<b>Rešitev</b>	<b>5</b>
2.1	Obvezen del . . . . .	5
2.2	Dodaten del . . . . .	8

## Slike

1	Neumanov robni pogoj - fft metoda . . . . .	5
2	Dirichletov robni pogoj - skalarni produkt . . . . .	6
3	Dirichletov robni pogoj z metodo zlepkov. Prva slika je za začetno temperaturo obliki gavsove, druga pa ima obliko $\sin(\pi x^2)$ . . . . .	7
4	Neumanov robni pogoj z fft metodo za začetni temperaturni profil $\sin(\pi x^2)$ . . . . .	8
5	Dirichletov robni pogoj s skalarnim produktom in z začetnim temperaturnim profilom $\sin(\pi x^2)$ . . . . .	9

# 1 Navodilo

Za reševanje začetnih problemov s parcialnimi diferencialnimi enačbami (PDE) imamo na voljo dva obsežna razreda metod. Pri *diferenčnih metodah* na neki način aproksimiramo časovne in krajevne parcialne odvode s končnimi diferencami. Reševanje PDE nato prevedemo na reševanje algebrskih enačb ali sistemov enačb za približne vrednosti funkcij, ki v teh diferencah nastopajo. Diferenčne metode spoznamo pri naslednji vaji. Pri tej vaji obravnavamo *spektralne metode*: pri njih iskano rešitev formalno izrazimo z nekim naborom funkcij, nato pa v času spremljamo koeficiente v takem razvoju. Kako se selimo med krajevno in časovno sliko problema, je odvisno od posamezne metode. Osnovne prijeme spoznamo ob Fourierovi metodi in metodi končnih elementov s kubičnimi *B-zlepki* (*B-splines*).

Fizikalno ozadje naj bo enorazsežna difuzijska enačba, ki opisuje na primer temperaturno polje  $T(x, t)$  v homogeni neskončni plasti s končno debelino  $a$  brez virov toplote:

$$\frac{\partial T}{\partial t} = D \frac{\partial^2 T}{\partial x^2}, \quad 0 \leq x \leq a, \quad D = \frac{\lambda}{\rho c}.$$

Temperaturo v poljubni točki  $x$  ob času  $t$  izrazimo s Fourierovo vrsto

$$T(x, t) \simeq \sum_{k=0}^{N-1} \tilde{T}_k(t) e^{-2\pi i f_k x},$$

kjer je  $f_k = k/a$ , torej

$$\sum_k \frac{\partial \tilde{T}_k(t)}{\partial t} e^{-2\pi i f_k x} = D \sum_k (-4\pi^2 f_k^2) \tilde{T}_k(t) e^{-2\pi i f_k x}.$$

Od tod sledi evolucijska enačba za Fourierove koeficiente

$$\frac{\partial \tilde{T}_k(t)}{\partial t} = D (-4\pi^2 f_k^2) \tilde{T}_k(t). \quad (1)$$

Pogosto uporabimo spektralno reprezentacijo za krajevni odvod, medtem ko časovni korak naredimo z neko eksplisitno integracijsko shemo, na primer kar po Eulerju

$$\tilde{T}_k(t+h) = \tilde{T}_k(t) + hD(-4\pi^2 f_k^2) \tilde{T}_k(t). \quad (2)$$

Reprezentacijo  $T(x, t)$  v običajnem prostoru nato dobimo z obratno Fourierovo transformacijo.

Tu lahko v splošnem časovni korak izvedeš po Eulerju, v tem konkretnem primeru pa obstaja tudi enostavna analitična rešitev enačbe 1, ki jo lahko uporabiš za primerjavo. V numerični metodi tako najprej izračunaj Fourierovo reprezentacijo  $\tilde{T}_k(0)$  začetnega pogoja, nato pa jo po Eulerju evolviraj v času. Pri tem moraš paziti na stabilnost Eulerjeve diferenčne sheme: pri katerem koli koraku mora veljati

$$\left| \frac{\tilde{T}_k(t+h)}{\tilde{T}_k(t)} \right| = |1 + hD(-4\pi^2 f_k^2)| < 1.$$

Nekaj pozornosti zahteva tudi diskretizacija: za vsak  $k$  seveda velja  $-f_{\text{Nyquist}} < f_k < f_{\text{Nyquist}}$  in s tem povezan možen pojav *aliasinga* (Kaj je že to?). Ta pojav lahko študiraš, če se spomniš, da obstaja analitična rešitev FT Gaussove funkcije (je spet Gaussova funkcija) - kaj se z le-to dogaja znotraj dovoljenega frekvenčnega intervala? Če izbereš veliko število točk, je seveda smiselno uporabiti kar algoritem FFT. Temperaturni profil  $T_j(t) \equiv T(x, t)$  ob poljubnem času nato dobiš z inverzno FFT.

Pri razvoju  $T(x, t)$  nismo omejeni na trigonometrične funkcije. Rešitev PDE na  $0 \leq x \leq a$  lahko aproksimiramo tudi z drugačno vrsto funkcij, na primer kubičnimi *B-zlepki*,

$$T(x, t) = \sum_{k=-1}^{N+1} c_k(t) B_k(x), \quad (3)$$

kjer je  $B_k(x)$  kubični zlepek s središčem okrog  $x = x_k$ . aastnosti  $B$ -zlepkov so navedene v dodatku. Tako zasnujemo *metodo končnih elementov*, s *kolokacijskim pogojem*, da naj se zlepek ujema z rešitvijo v določenih izbranih točkah. Podobno kot pri Fourierovi metodi tudi pri tej metodi zahtevamo, da razvoj (3) zadošča osnovni PDE in robnim pogojem. Razvoj (3) vstavimo v PDE in izvednotimo rezultat pri  $x = x_j$ . (Interval  $[0, a]$  diskretiziramo na  $N$  podintervalov širine  $\Delta x$  s točkami  $x_j = j\Delta x$ , kjer je  $j = 0, 1, \dots, N$ . Za kolokacijo je smiselno izbrati enake točke kot za diskretno mrežo.) Tako dobimo

$$\sum_{k=-1}^{N+1} \dot{c}_k(t) B_k(x_j) = D \sum_{k=-1}^{N+1} c_k(t) B_k''(x_j), \quad j = 0, 1, \dots, N.$$

Upoštevamo lastnosti  $B$ -zlepkov in dobimo sistem diferencialnih enačb za koeficiente  $c_j(t)$ :

$$\dot{c}_{j-1}(t) + 4\dot{c}_j(t) + \dot{c}_{j+1}(t) = \frac{6D}{\Delta x^2} (c_{j-1}(t) - 2c_j(t) + c_{j+1}(t)),$$

kjer je  $j = 0, 1, \dots, N$ . Iz robnega pogoja pri  $x = 0$  ugotovimo  $c_{-1} = -4c_0 - c_1$ . Če dodamo še zahtevo za 'naravni' kubični zlepek, da je na robu  $\sum_{k=-1}^{N+1} c_k(t) B_k''(x = (0, a)) = 0$ , sledi  $c_0 = c_N = 0$  in  $c_{-1} = -c_1$  ter  $c_{N-1} = -c_{N+1}$ . Reševanje enačbe (3) smo torej prevedli na reševanje matričnega sistema

$$\mathbf{A} \frac{d\vec{c}}{dt} = \mathbf{B} \vec{c},$$

kjer je

$$\mathbf{A} = \begin{pmatrix} 4 & 1 & & & & \\ & 1 & 4 & 1 & & \\ & & 1 & 4 & 1 & \\ & & & \ddots & & \\ & & & & 1 & 4 & 1 \\ & & & & & 1 & 4 & 1 \\ & & & & & & 1 & 4 \end{pmatrix}, \quad \mathbf{B} = \frac{6D}{\Delta x^2} \begin{pmatrix} -2 & 1 & & & & \\ & 1 & -2 & 1 & & \\ & & 1 & -2 & 1 & \\ & & & \ddots & & \\ & & & & 1 & -2 & 1 \\ & & & & & 1 & -2 & 1 \\ & & & & & & 1 & -2 \end{pmatrix}$$

in  $\vec{c} = (c_1(t), c_2(t), \dots, c_{N-1}(t))^T$ . Začetni pogoj za PDE je  $T(x_j, 0) = f(x_j)$ , torej je začetni približek za kolokacijsko aproksimacijo

$$\mathbf{A} \vec{c}^0 = \vec{f},$$

kjer je  $\vec{f} = (f(x_1), f(x_2), \dots, f(x_{N-1}))^T$ . To zdaj rešujemo s kako metodo, ki jo poznamo iz prejšnjih nalog, recimo z eksplisitno Eulerjevo metodo: ob zaporednih časih  $n\Delta t$  dobimo

$$\vec{c}^{n+1} = \vec{c}^n + \Delta t \mathbf{A}^{-1} \mathbf{B} \vec{c}^n = (1 + \Delta t \mathbf{A}^{-1} \mathbf{B}) \vec{c}^n.$$

Ob poljubnem času nato dobimo temperaturni profil tako, da znova izračunamo vsoto (3). Ker nam je že znano, da je Eulerjeva ob predolgih časovnih korakih lahko nestabilna, lahko uporabimo stabilno implicitno metodo, kjer v vsakem časovnem koraku rešujemo

$$\left(A - \frac{\Delta t}{2} B\right) \vec{c}^{n+1} = \left(A + \frac{\Delta t}{2} B\right) \vec{c}^n.$$

*Naloga:*

- Reši difuzijsko enačbo v eni razsežnosti  $x \in [0, a]$  z začetnim pogojem po plasti gaussovske porazdeljene temperature

$$T(x, 0) \propto e^{-(x-a/2)^2/\sigma^2}$$

(izberi razumne vrednosti za  $D$ ,  $a$  in  $\sigma$ ) in

1. periodičnim robnim pogojem  $T(0, t) = T(a, t)$ .
2. homogenim Dirichletovim robnim pogojem  $T(0, t) = T(a, t) = 0$ .

po Fourierovi metodi.

- Kolokacijsko metodo uporabi ob Gaussovem začetnem pogoju in homogenih Dirichletovih robnih pogojih  $T(0, t) = T(a, t) = 0$  ter primerjaj obe metodi.

*Dodatna naloga:* Izberi si še kakšen primer začetnih pogojev, recimo:

$$T(x, 0) = f(x) = \sin(\pi x/a)$$

in preizkusi obe metodi.

## Dodatek: kubični $B$ -zlepki

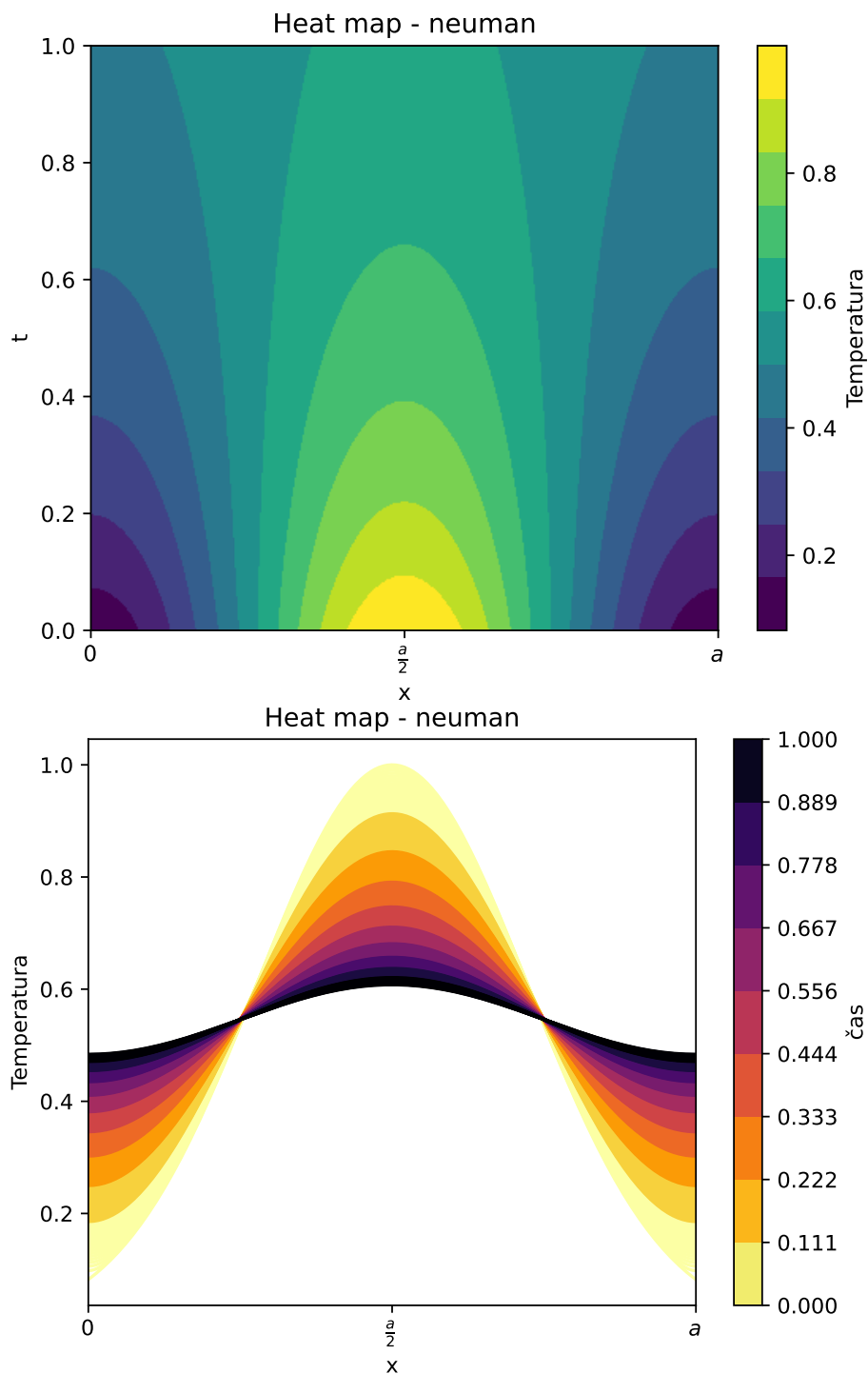
Kubični  $B$ -zlepki imajo obliko

$$B_k(x) = \begin{cases} 0 & \text{če } x \leq x_{k-2} \\ \frac{1}{\Delta x^3}(x - x_{k-2})^3 & \text{če } x_{k-2} \leq x \leq x_{k-1} \\ + \frac{1}{\Delta x^3}(x - x_{k-2})^3 - \frac{4}{\Delta x^3}(x - x_{k-1})^3 & \text{če } x_{k-1} \leq x \leq x_k \\ + \frac{1}{\Delta x^3}(x_{k+2} - x)^3 - \frac{4}{\Delta x^3}(x_{k+1} - x)^3 & \text{če } x_k \leq x \leq x_{k+1} \\ \frac{1}{\Delta x^3}(x_{k+2} - x)^3 & \text{če } x_{k+1} \leq x \leq x_{k+2} \\ 0 & \text{če } x_{k+2} \leq x \end{cases}$$

## 2 Rešitev

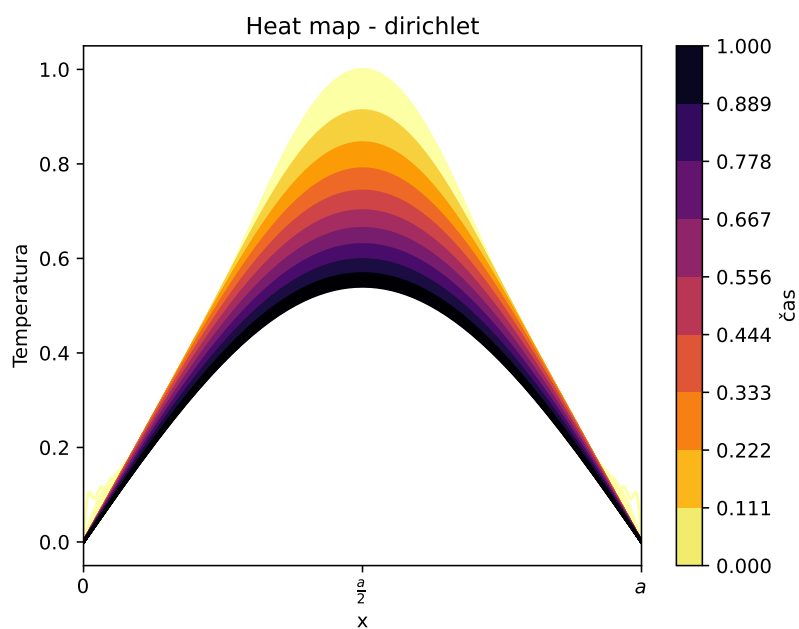
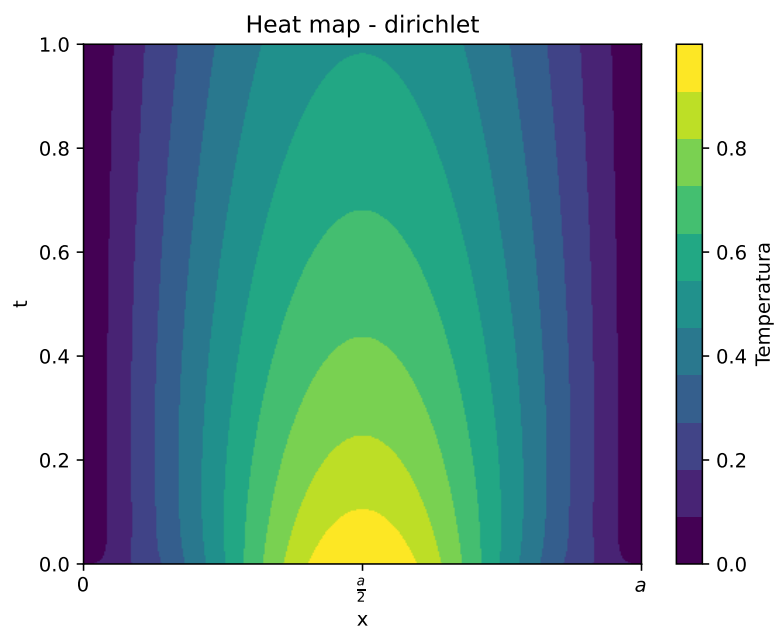
### 2.1 Obvezen del

Najprej rešitev s furjerjem = neumanov r.p. Za ta primier imam tudi animacijo (precej generericna)



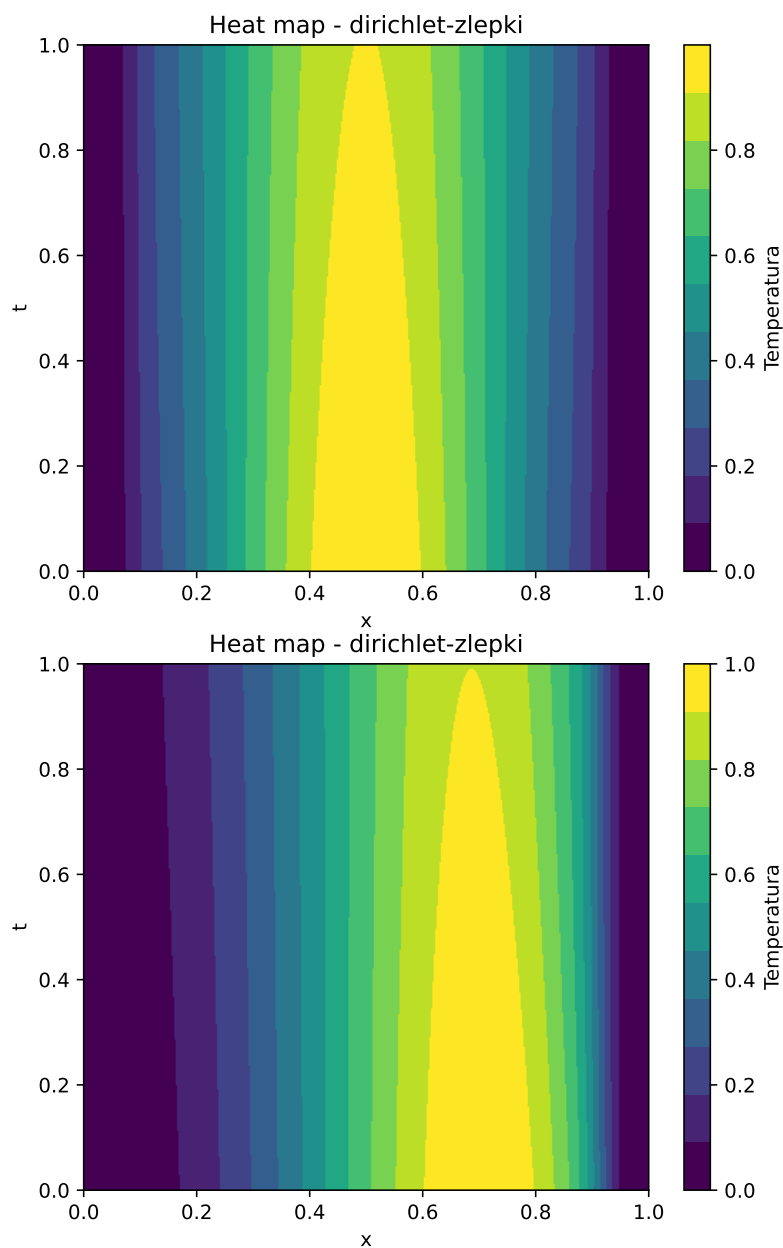
Slika 1: Neumanov robni pogoj - fft metoda

v datoteki animations



Slika 2: Dirichletov robni pogoji - skalarni produkt

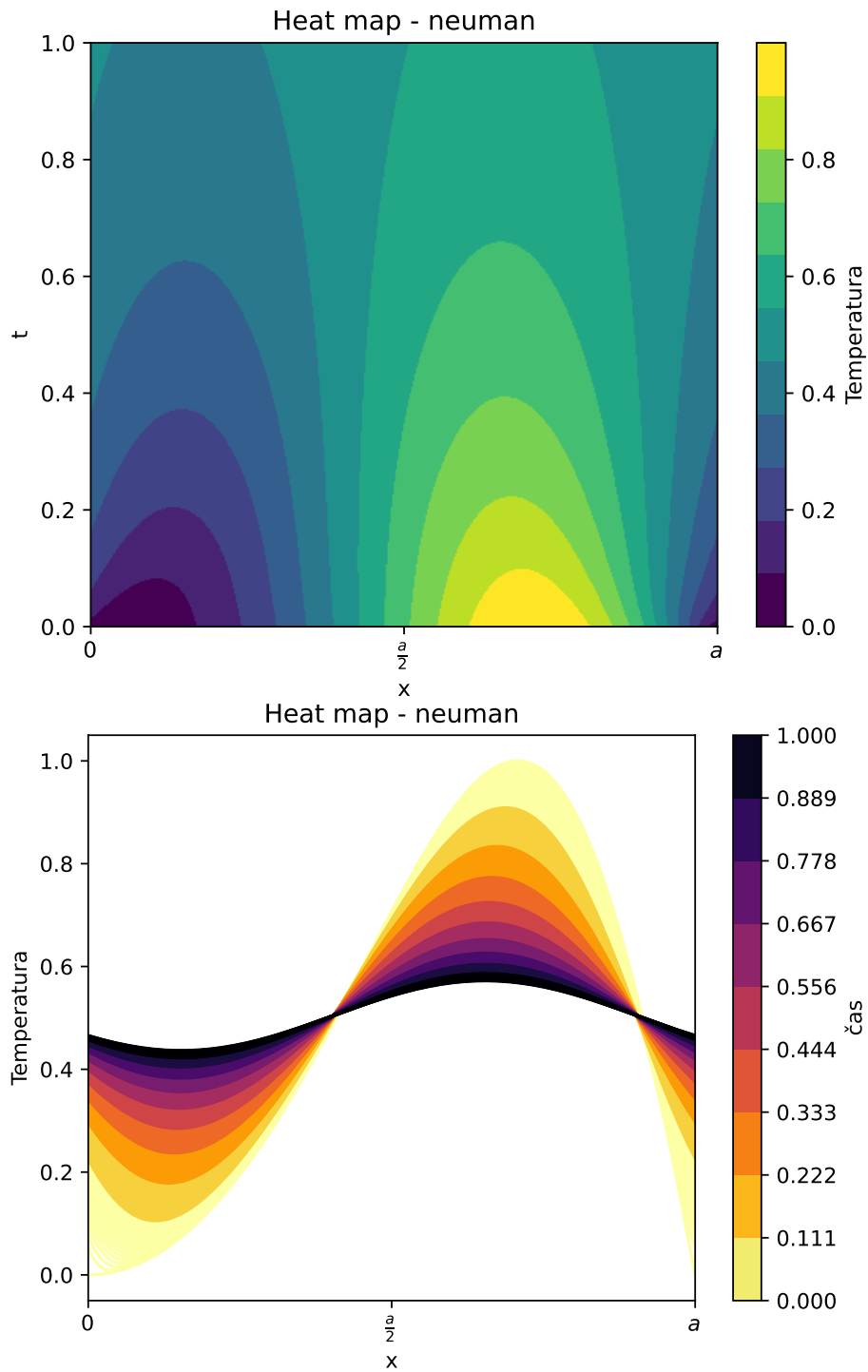
Poglejmo še zlepke, najpočasnejša metoda in najbolj nenatančna.



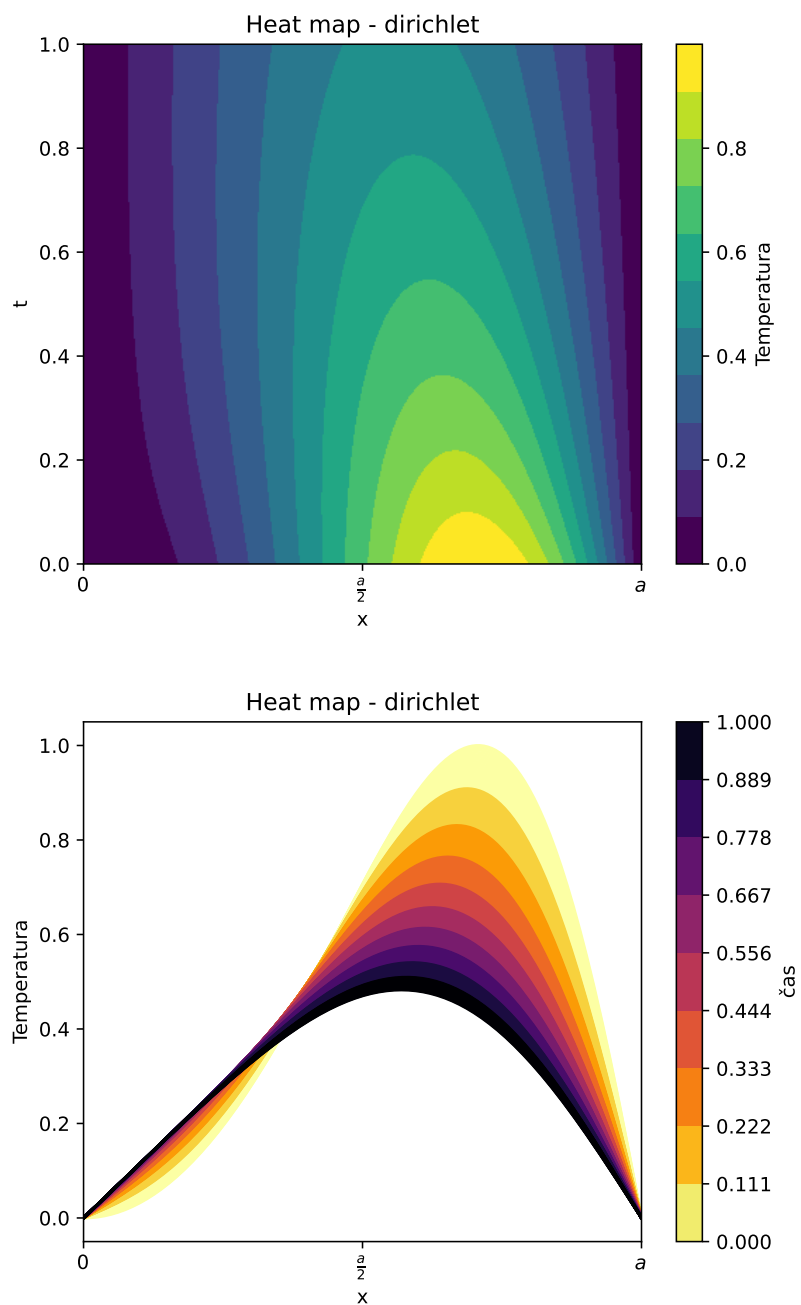
Slika 3: Dirichletov robni pogoj z metodo zlepkov. Prva slika je za začetno temperaturo obliki gavsovke, druga pa ima obliko  $\sin(\pi x^2)$



## 2.2 Dodaten del



Slika 4: Neumanov robni pogoj z fft metodo za začetni temperaturni profil  $\sin(\pi x^2)$



Slika 5: Dirichletov robni pogoj s skalarnim produktom in z začetnim temperaturnim profilom  $\sin(\pi x^2)$